

Report005: Modelo de Mistura Estacionário v3 (Codificação)

Fernando Enrique Castillo Vicencio
Federal University of Technology - Paraná

1 Estrutura do programa

O programa está dividido nos seguintes subprogramas:

- **mainDriftFluxModelSteady_v1.m**: Programa principal do Modelo, baseado no algoritmo 5.1 da Tese de Lima.
- **flowPatternIdentification_v1.m**: Programa para identificar o padrão do escoamento (disperso, separado ou intermitente)
- **AlphaTauDispersed_v1.m**: Programa para calcular a fração de vazio e a força de atrito para o escoamento disperso.
- **AlphaTauSeparated_v1.m**: Programa para calcular a fração de vazio e a força de atrito para o escoamento separado.
- **AlphaTauIntermittent_v1.m**: Programa para calcular a fração de vazio e a força de atrito para o escoamento intermitente.
- **filmThickSeparated.m**: Programa para calcular a espessura do filme de líquido no escoamento separado.
- **liquidFractionDispersed.m**: Programa para calcular a fração de líquido no escoamento disperso.
- **bisectionMethod.m**: Programa para resolver uma equação implícita pelo método da bisseção.

2 Programa Principal (*mainDriftFluxModelSteady_v1.m*):

2.1 Dados de entrada:

- Propriedades da tubulação:
 - Comprimento (L), diâmetro (D), ângulo (θ), rugosidade (ε)

```
% Pipe properties
L = 10.; %length
D = 0.0254; %diameter
angle = 15.; % angle in degrees
theta = angle * pi / 180.; % angle in radians
rug = 0.001; %rugosity
```

- Dados Termodinâmicos:
 - Temperatura dos fluidos (T_0), aceleração da gravidade (g), constante do gás (R_0)

```
% Other data
To = 300.; % temperature
g = 9.81; % acceleration of gravity
Ro = 287.; % constant of the gas (air)
```

2.2 Primeiros cálculos:

- Cálculos iniciais das iterações:
 - Número de intervalos (N), variação da posição (Δz), tolerância das iterações

```
% Iteration Calculations
dz0 = 40*D; % approximated delta z, n times diameter
N = floor(L / dz0 + 1); % number of intervalos (integer)
dz = L / ( N-1 ) ; % exact delta z
tol = 1e-4; % error tolerance of calculations
```

- Primeiros cálculos geométricos:

– Perímetro da tubulação: $S = \pi D$, área da tubulação: $A = \frac{\pi D^2}{4}$

```
% First Geometrical calculations
S = pi * D; % perimeter of the pipe
A = pi / 4 * (D^2); % area of the pipe
```

- Propriedades do escoamento

- Velocidade superficial do líquido (J_L), massa específica do líquido (ρ_L), viscosidade do gás (μ_G), viscosidade do líquido (μ_L), tensão interfacial líquido-gás (γ)

```
% Flow properties
JL = 0.5; % superficial velocity of liquid
DenL = 1000.; % density of liquid
VisG = 1e-5; % viscosity of gas
VisL = 1e-3; % viscosity of liquid
surTen = 0.7; % surface tension of liquid in contact with gas
```

2.3 Cálculos na seção N (seção de saída da tubulação)

- Dados na saída:

- Velocidade superficial do gás, $J_G(N)$; pressão na saída, $P(N)$:

```
% Outlet properties
JG(N) = 0.5; % Superficial velocity of gas
P(N) = 2e5; % Pressure at outlet
```

- Cálculos do escoamento

- Velocidade superficial da mistura: $J(N) = J_L + J_G(N)$, massa específica do gás: $\rho_G(N) = \frac{P(N)}{R_0 T_0}$, diferença de massas específicas: $\Delta\rho(N) = \rho_L - \rho_G(N)$
- Fluxo mássico do gás: $G_G = \rho_G(N) J_G(N)$, fluxo mássico do líquido: $G_L = \rho_L J_L$

```
% Second Calculations
```

```
J(N) = JL + JG(N); % Superficial velocity of the mixture
```

```
DenG(N) = P(N) / (Ro * To); % Density of the ideal gas
```

```
dRho = DenL - DenG(N); % difference of density
```

```
GG = DenG(N) * JG(N); % Mass flux of gas
```

```
GL = DenL * JL; % Mass flux of liquid
```

- Rotina para a determinação do padrão do escoamento (*flowPatternIdentification_v1.m*)

```
% Routine flowPattern
```

```
% Algorithm 5.2
```

```
pattern=flowPattern(JG(N), JL, J(N), DenG(N), DenL, VisL, VisG, ...  
    surTen, D, L, S, A, theta, rug, dRho, g);
```

- Rotina para a determinação da fração de vazio $\alpha(N)$ e a força de atrito $T_W(N)$ na seção de saída do escoamento (AlphaTauDispersed_v1.m ; AlphaTauSeparated_v1.m ; AlphaTauIntermittent_v1.m)

```
% Routines for VoidFraction and FrictionForce for each flow pattern
if pattern == 1 % Dispersed Flow
    %% algorithm 5.3
    [alpha(N), TW(N)] = AlphaTauDispersed(JG(N), J(N), ...
        DenG(N), DenL, VisG, VisL, surTen, D, S, theta) ;
elseif pattern == 2 % Separated Flow
    %% algorithm 5.4
    [alpha(N), TW(N)] = AlphaTauSeparated(JG(N), J(N), ...
        DenG(N), DenL, VisG, VisL, surTen, D, S, theta) ;
else % Intermittent Flow
    %% algorithm 5.5
    [alpha(N), TW(N)] = AlphaTauIntermittent(JG(N), J(N), ...
        DenG(N), DenL, VisG, VisL, surTen, D, S, theta) ;
end
```

- Velocidade das fases: $U_G(N) = \frac{J_G(N)}{\alpha(N)}$ e $U_L(N) = \frac{J_L}{1-\alpha(N)}$

```
% actual phase velocities (eq. 3.3 & 3.5) – Line11
UG(N) = JG(N) / alfa(N) ; % actual velocity of gas
UL(N) = JL / ( 1-alfa(N) ) ; % velocity of liquid
```

- Cálculo da função: $\Psi(N) = P(N) + G_G U_G(N) + G_L U_L(N)$

```
% Psi function – Line 12
```

```
Psi(N) = P(N) + GG * UG(N) + GL * UL(N);
```

- Massa específica da mistura: $\rho(N) = \alpha(N) \rho_G(N) + [1 - \alpha(N)] \rho_L$
- Função: $\frac{d\Psi}{dz}(N) = -T_W(N) - \rho(N) g \sin(\theta)$

```
%Density of the mixture & dPsidz – Line 13
```

```
Den(N) = alfa(N) * DenG(N) + ( 1-alfa(N) ) * DenL;
```

```
dPsidz(N) = -TW(N) - Den(N) * g * sin(theta);
```

2.4 Cálculos na seção z (desde $z=N-1$ até $z=1$)

- Valores prévios das iterações

```
%%%%%%%%%%%%%%%%%%%%%%%%%%%%%%%%%%%%%%%%%%%%%%%%%%%%%%%%%%%%%%%%%%%%%%%%%
```

```
% Calculations for i from N-1 to 1
```

```
i = N ; % index of iteration
```

```
L(i) = (i-1)*dz ; % position at i=N
```

```
while i > 0 %Line 14
```

```
    i = i-1 ; % refresh index of iteration
```

```
    L(i) = (i-1)*dz ; % position at i < N
```


2.4.1 Resolver a EDO para a grandeza $\Psi(z)$ (método de Runge-Kutta)

- EDO : $\frac{d\Psi}{dz}(z) = -T_W(z+1) - \rho(z+1) g \sin(\theta) = \frac{d\Psi}{dz}(z+1)$.
 - O termo da direita foi calculado em $i+1$
- Condição de Contorno : $\Psi(L_{z+1}) = P(z+1) + G_G U_G(z+1) + G_L U_L(z+1)$
- Solução pelo Método de Runge-Kutta: $\Psi(z)$

```
%%%%%%%%%%%%%%%%%%%%%%%%%%%%%%%%%%%%%%%%%%%%%%%%%%%%%%%%%%%%%%%%%%%%%%%%%
% Runge-Kutta method to solve EDO – Line 16
syms fun(z) % declare symbolic variable
% Define ODE
ode = diff(fun,z) == dPsdz(i+1);
% Boundary condition at z(i+1)
cond = fun( L(i+1) ) == P(z+1) + GG * UG(i+1) + GL * UL(i+1) ;
funSol(z) = dsolve(ode,cond) ; % solve ODE

% Calculate the value of Psi(i)
Psi(i) = vpa(feval(funSol,L(i)));
clear fun funSol cond ode % clear variables
%%%%%%%%%%%%%%%%%%%%%%%%%%%%%%%%%%%%%%%%%%%%%%%%%%%%%%%%%%%%%%%%%%%%%%%%%
```

2.4.2 Loop para calcular a pressão na seção z

- O loop é calculado enquanto a condição de tolerância não se cumpre.

1. Massa específica do gás na seção z: $\rho_G(z) = \frac{P(z)^{i+1}}{R_0 T_0}$

```
Pold = P(i+1) ;  
%%%%%%%%%%%%%%%%%%%%%%%%%%%%%%%%%%%%%%%%%%%%%%%%%%%%%%%%%%%%%%%%%%%%%%%%  
while fP > tol  
    % Density of gas  
    DenG(i) = Pold / (Ro*To) ;
```

2. Velocidade superficial do gás: $J_G(z) = \frac{G_G}{\rho_G(z)}$

```
% Superficial velocity of the gas  
JG(i) = GG / DenG(i) ;
```

3. Velocidade superficial da mistura: $J(z) = J_L + J_G(z)$

```
% Superficial velocity of the mixture  
J(i) = JL + JG(i) ;
```

4. Algoritmo para calcular a fração de vazio $\alpha(z)$ dependendo do padrão do escoamento: **AlphaTauDispersed_v1.m** , **AlphaTauSeparated_v1.m** , **AlphaTauIntermittent_v1.m**

```
% Routines for VoidFraction for each flow pattern
if pattern == 1 % Dispersed Flow
    %% algorithm 5.3
    [alpha(i), del] = AlphaTauDispersed...
        (JG(i), J(i), DenG(i), DenL, VisG, ...
        VisL, surTen, D, S, theta) ;
elseif pattern == 2 % Separated Flow
    %% algorithm 5.4
    [alpha(i), del] = AlphaTauSeparated...
        (JG(i), J(i), DenG(i), DenL, VisG, ...
        VisL, surTen, D, S, theta) ;
else % Intermittent Flow
    %% algorithm 5.5
    [alpha(i), del] = AlphaTauIntermittent...
        (JG(i), J(i), DenG(i), DenL, VisG, ...
        VisL, surTen, D, S, theta) ;
end
clear del
% Return alpha(i)
```

5. Velocidade do gás: $U_G(z) = \frac{J_G(N)}{\alpha(z)} \frac{P(N)}{P(z)^{i+1}}$

```
% actual velocity of gas
UG(i) = JG(N) / alfa(i) * P(N) / Pold ;
```

6. Velocidade do líquido: $U_L(z) = \frac{J_L}{1-\alpha(z)}$

```
% actual velocity of liquid
UL(i) = JL / ( 1-alfa(i) ) ;
```

7. Cálculo da função $f(P) = P(z) + G_G U_G(z) + G_L U_L(z) - \Psi(z) > \text{tolerância}$

```
% Calculate the function fP=0
fP = P(i) + GG * UG(i) + GL * UL(i) - Psi(i) ;

% Reassign values of pressure
Pold = P(i) ;

end
% Return P(i); DenG(i), JG(i), J(i), alfa(i), UG(i), UL(i)
%%%%%%%%%%%%%%%%%%%%%%%%%%%%%%%%%%%%%%%%%%%%%%%%%%%%%%%%%%%%%%%%%%%%%%%%%
```

8. Algoritmo para calcular a força de atrito $T_W(z)$ dependendo do padrão do escoamento: **AlphaTauDispersed_v1.m**, **AlphaTauSeparated_v1.m**, **AlphaTauIntermittent_v1.m**

```
% Routines for FrictionFactor for each flow pattern
if pattern == 1 % Dispersed Flow
    %% algorithm 5.3
    [del, TW(i)] = AlphaTauDispersed...
        (JG(i), J(i), DenG(i), DenL, VisG, ...
        VisL, surTen, D, S, theta) ;
elseif pattern == 2 % Separated Flow
    %% algorithm 5.4
    [del, TW(i)] = AlphaTauSeparated...
        (JG(i), J(i), DenG(i), DenL, VisG, ...
        VisL, surTen, D, S, theta) ;
else % Intermittent Flow
    %% algorithm 5.5
    [del, TW(i)] = AlphaTauIntermittent...
        (JG(i), J(i), DenG(i), DenL, VisG, ...
        VisL, surTen, D, S, theta) ;
end
clear del
% Return TW(i)
```

9. Massa específica da mistura: $\rho(z) = \alpha(z) \rho_G(z) + [1 - \alpha(z)] \rho_L$

```
% Density of the mixture
Den(i) = alfa(i) * DenG(i) + ( 1-alfa(i) ) * DenL;
```

10. Cálculo da função $\frac{d\Psi}{dz}(z) = -T_W(z) - \rho(z) g \sin(\theta)$

```
% Calculate dPsi/dz(i)
dPsi/dz(i) = -TW(i) - Den(i) * g * sin(theta);
```

11. Algoritmo para a determinação do padrão do escoamento (*flowPatternIdentification_v1.m*)

```
%Rotina flowPattern
pattern=flowPattern...
    (JG(i), JL, J(i) , DenG(i) , DenL, VisL, VisG, ...
    surTen, D, L, S, A, theta, rug, dRho, g);
end
%%%%%%%%%%%%%%%%%%%%%%%%%%%%%%%%%%%%%%%%%%%%%%%%%%%%%%%%%%%%%%%%%%%%%%%%%
```

2.5 Cálculo da queda de pressão ao longo da tubulação

```
%Calculate Pressure Loss through the Pipe
dPL = ( P(1) - P(N) ) / L ;
```

3 Identificação do Padrão de Escoamento (flowPatternIdentification_v1.m):

1. Definição da Função:

```
% Flow Pattern Identification – Algorithm 5.2  
function pattern=patternIndex(JG, JL, J , DenG , DenL, ...  
    VisL , VisG , surTen , D, L, S, A, theta , rug , dRho, g)
```

2. Escoamento quase-horizontal: $0^\circ \leq \theta \leq 10^\circ$ (modelo de Taitel e Dukler, 1976)

```
if 0 <= theta && theta <= 10/180*pi  
    % Modelo of Taitel & Dukler (1976)
```

(a) C: core (gás) , F: film (líquido)

```
% line2  
ED = 0. ;  
RD = 0. ;  
DenC = DenG ;  
DenF = DenL ;  
VisC = VisG ;  
VisF = VisL ;
```

(b) Algoritmo para calcular a espessura do filme no escoamento separado (*filmThickSeparated.m*)

```
% algoritmo 4.2 – Line3
[alpha , RF, SF, SC, tauWF, tauWC, SI] = ...
    filmThickSeparated(JG, JL, J , DenC , DenF , ...
    VisC , VisF , D, A , theta , rug , surTen);
```

(c) Determinação do padrão do escoamento (disperso, separado ou intermitente)

- Será necessário o uso do algoritmo para determinar a fração de líquido no escoamento disperso (*liquidFractionDispersed.m*).

```
if JG < (1-delta) * ( (1-RF)^3 * A * ...
    dRho * g * cos(theta) / (DenG*SI) )^(1/2)
    pattern =2 % ESTRATIFICADO!
    %%%%%%%%%%
    %PODE SER ESTRATIFICADO LISO OU ONDULADO

elseif delta <= 0.35
    pattern =2 % ANULAR!

else
    %DETERMINAR CoB, VinfB e RS – ALGORITMO 4.1
    [CoB, VinfB, RS] = liquidFractionDispersed ...
        (JG, J , DenL, DenG, VisL , VisG , ...
        surTen , D, theta , dRho , g)
```



```

Co=CoB;
VGJ = VinfB;

alfa = 1-RS ;

% DenS e VisS 4.4 4.5
DenS = (1-RS)*DenG + RS*DenL;
VisS = (1-RS)*VisG + RS*VisL;

% ReS 5.31, CfS 5.30
ReS = DenS * J * D / VisS ;
CfS = ( -3.6 * log ( (rug/(3.7*D)) ^1.11 + ...
    6.9/ReS ) ) ^-2 ;

if JL >= 2 * RS * ( (1-RS)*A*dRho*g*cos(theta) / ...
    DenL*Sl*CfS ) ) ^ (1/2)
    pattern = 1 % BOLHAS
else
    pattern = 3 % GOLFADAS
end
end

```

3. Escoamento não-horizontal: $10^\circ < \theta \leq 90^\circ$ (modelo de Barnea et al., 1985)

```
else  
    % Modelo de Barnea et al. (1985 )
```

(a) Número de Eotvos:

$$Eo = d\rho \cdot g \cdot D^2 / \sigma$$

(b) Método iterativo para determinar $J_{L,\text{crítico}}$:

```
JLcrit = bisectionMethod(@(x)( ...  
    ( JG/(JG+x) ) - ...  
    ( ( 0.402 * ( (JG+x) / ...  
    (dRho*g*D/DenL)^(1/2) )^(6/5) ) * Eo^0.1 * ...  
    ( -3.6 * log( (rug/(3.7*D))^1.11 + ...  
    ( 6.9*VisL./( DenL*(JG+x)*D ) ) ) )^(-4/5) - ...  
    - 0.175 )^2 ), 0, 10*JL) ;
```

(c) Determinação do padrão do escoamento (disperso, separado ou intermitente)

```
if JG >= 3.1 * (dRho*surTen*g*sin(theta))^(1/4) / ...  
    (DenG)^(1/2)  
    pattern = 2 ; % SEPARADO  
elseif JG/J > 0.52 && JL >= 0.48*JG/0.52  
    pattern = 1; % DISPERSO  
elseif JG/J <= 0.52 && JL >= JLcrit  
    pattern = 1; % DISPERSO : bolhas uniformes  
elseif theta > 60/180*pi && JL >= 3*JG - ...  
    1.15*(dRho*surTen*g/DenL^2)^(1/4)*sin(theta)  
    pattern = 1; % DISPERSO : bolhas distorcidas  
elseif JLcrit < JL && JL < 0.48*JG/0.52  
    pattern = 2 ; % SEPARADO : Semianular  
elseif theta > 70/180*pi && JL >= sqrt(g*D) * ...  
    ((L/D)/40.6 - 0.22) - JG  
    pattern = 3; % INTERMITENTE : golfadas instaveis  
else  
    pattern = 3; % INTERMITENTE : golfadas  
end  
end
```

4 Força de Atrito e Fração de vazio no escoamento disperso (AlphaTauDispersed_v1.m)

- Será necessária a função para calcular a fração de líquido no escoamento disperso (*liquidFractionDispersed.m*).
- Definição da função

```
[CoB,VinfB,RS] = liquidFractionDispersed ...  
    (JG, J , DenL, DenG, VisL, VisG, surTen, D, theta, dRho, g);  
  
Co = CoB;  
VGJ = VinfB;  
%%%%%%%%%%%%%%%%%%%%%%%%%%%%%%%%%%%%%%%%%%%%%%%%%%%%%%%%%%%%%%%%%%%%%%%%  
alfa = 1-RS % CONFERIR  
  
DenS = (1-RS)*DenG + RS * DenL;  
VisS = (1-RS)*VisG + RS * VisL;  
  
ReS = DenS * J * D / VisS ;  
DS = D;  
CfS = ( -3.6 * log( ( rug / (3.7*DS)).^1.11 + 6.9/ReS )) .^(-2) ;  
tauWS = CfS * DenS * J * abs(J) / 2 ;  
TWS = tauWS * S / A ;
```

```
beta = 0;  
TW = TWS;
```

5 Força de Atrito e Fração de vazio no escoamento separado (AlphaTauSeparated_v1.m)

- Serão necessárias as funções para calcular a espessura do filme no escoamento separado (*filmThickSeparated.m*) e a fração de líquido no escoamento disperso (*liquidFractionDispersed.m*).
- Definição da função

```
function [alpha , TW] = AlphaTauSeparated ...  
    (JG, JL, J , DenG, DenL, VisG, VisL , ...  
    surTen , D, A, theta , rug)
```

1. Desenvolvimento da função

```
% Wallis (Tabela4.3)  
ED = 1- exp ( -0.125 * ( 1e4*JG*VisG* ...  
    (DenG/DenL).^(1/2) / surTen - 1.5 ) );  
  
RD = ED * JL / (JG + ED*JL);
```

```

DenF = DenL; VisF = VisL;
DenC = (1-RD)*DenG + RD * DenL;

VisC = (1-RD)*VisG + RD * VisL;
[HF,RF,SI] = filmThickSeparated(JG, JL, J , ...
    DenC , DenF , VisC , VisF, D, A , theta , rug , surTen)

[CoB,VinfB,RS] = liquidFractionDispersed...
    (JG, J , DenL, DenG, VisL , VisG , surTen , D, theta , dRho , g);

Co = CoB; VGJ = VinfB;
%%%%%%%%%%%%%%%%%%%%%%%%%%%%%%%%%%%%%%%%%%%%%%%%%%%%%%%%%%%%%%%%%%%%%%%%
alfa = 1-RS % CONFERIR

DenS = (1-RS)*DenG + RS * DenL;
VisS = (1-RS)*VisG + RS * VisL;

ReS = DenS * J * D / VisS ;
DS = D;
CfS = ( -3.6 * log( (rug / (3.7*DS)).^1.11 + 6.9/ReS )) .^(-2) ;
tauWS = CfS * DenS * J * abs(J) / 2 ;
TWS = tauWS * S / A ;

beta = 0; TW = TWS;

```

6 Força de Atrito e Fração de vazio no escoamento intermitente (*AlphaTauIntermittent_v1.m*)

- Serão necessárias as funções para calcular a espessura do filme no escoamento separado (*filmThickSeparated.m*) e a fração de líquido no escoamento disperso (*liquidFractionDispersed.m*).
- Definição da função

```
function [alpha , TW] = AlphaTauIntermittent...  
    (JG, JL, J , DenG, DenL, VisG, VisL , ...  
    surTen , D, A, theta , rug)
```

1. Desenvolvimento da função

```
DenC = DenG ;  
DenF = DenL ;  
VisC = VisG ;  
VisF = VisL ;  
  
% Frequency , Gregory & Scott (1969)  
f = 0.026 * ( JL * (19.75/J + J) * (g*D) )^(6/5) ;  
  
% Liquid fraction in the slug  
% Gregory et al (1978)  
RS = ( 1 + (J/8.66)^1.39 ) ^(-1) ;
```

```

UT = 1.2 + 0.35 sqrt(g*D) * sin(theta);

CoB = 1 + 0.2 * (sin(theta))^2 ;
VinfB = 1.54 ;
UB = CoB * J + VinfB ;

Co = CoT ;
VGJ = VinfT ;
alpha = JG / ( Co*J+VGJ ) ;

if z = L
    %%%
    LF = zF;
    LS = UT / f - LF ; %4.27
    TWC = tauWC * SC / A ; % 5.28
    TWS = tauWS * SS / A ;
end

DenS = (1-RS)*DenG + RS * DenL;
VisS = (1-RS)*VisG + RS * VisL;

ReS = DenS * J * D / VisS ;
DS = D;

```



```
CfS = ( -3.6 * log( ( rug / (3.7*DS) ).^1.11 + 6.9/ReS ) ) .^(-2) ;  
tauWS = CfS * DenS * J * abs(J) / 2 ;  
TWS = tauWS * S / A ;  
  
%beta <1;  
TW = TWS;
```

7 Espessura do filme de líquido no escoamento separado (*filmThickSeparated.m*)

- Definição da função

```
function [alpha, RF, SF, SC, tauWF, tauWC, SI] = ...  
    filmThickSeparated(JG, JL, J, DenC, DenF, VisC, VisF, ...  
    D, A, theta, rug, surTen)
```

1. Desenvolvimento da função

```
model = 1 ;  
tol = 1e-4 ;  
interface = 1; %1:planar 2:concentric %%%%como?  
  
dRho = DenF-DenC;  
g = 9.81;  
  
f1 = 1;  
%line1  
  
if model == 1 % model based on momentum model  
    delta = JG / J / 4
```

```

while f1 > tol

    if interface == 1
        lambda = 2*acos(1-2*delta);
        SC = D * (pi - lambda/2.);
        SF = D * lambda/2;
        SI = D * sin (lambda/2) ;
        DC = D * ( 1 + ( sin(lambda/2) - sin(lambda)/2 )
            / ( 2 * (2*pi-lambda+sin(lambda)) ) ) ^-1;
        DF = D * (1-sin(lambda)/lambda);
        RF = (lambda-sin(lambda)) / (2*pi) ;
    else
        SC = 0.;
        SF = pi * D;
        SI = pi * D * ( 1 - 2*delta);
        DC = D * ( 1 - 2*delta);
        DF = D * ( 4 * delta * (1-delta) );
        RF = 4 * delta * (1-delta);
    end

    % Wallis (Tabela4.3)
    ED = 1- exp ( -0.125 * ( 1e4*JG*VisC* (DenC/DenF).^(1/2)
        / surTen - 1.5 ) );
    RD = ED * JL / (JG + ED*JL) ;

```

```

% Line 5
UC = ( JG + ED * JL ) / (1-RF) ;
UF = ( JL - ED * JL ) / RF ;

%Line 6
ReC = DenC * UC * DC / VisC ;
ReF = DenF * UF * DF / VisF ;

%Line 7
CfC = ( -3.6 * log( (rug / (3.7*DC ))).^1.11 + 6.9/ReC ))
      .^(-2) ;
CfF = ( -3.6 * log( (rug / (3.7*DF ))).^1.11 + 6.9/ReF ))
      .^(-2) ;

if interface == 2
    Cfl = CfC * (1+300*delta);
elseif JG<=15
    Cfl = 0.014;
else
    Cfl = 0.0625 * ( log( 15/ReC + 2.3*delta/3.715 )
                    ).^-2;
end

```

%Line 8

```
tauWC = CfC * DenC * UC * abs(UC) / 2.;
```

```
tauWF = CfF * DenF * UF * abs(UF) / 2.;
```

```
taul = Cfl * DenC * (UC-UF) * abs(UC-UF) / 2
```

```
if interface == 1
```

```
    lambda = bisectionMethod(@(x)( ...  
        ( tauWF * (D .* x./2) ./ A ) - ...  
        ( ( ((x-sin(x))./(2*pi)) / (1-(x-sin(x))  
            ./(2*pi)) ) .* tauWC * ( D * (pi - x  
            ./2) ) ./ A ) - ...  
        ( 1 ./ ( 1 - (x-sin(x))./(2*pi) ) * (   
            taul .* ( D * sin(x./2) ) ./ A ) ) +  
        ...  
        ( ((x-sin(x))./(2*pi)) * dRho * g * sin(   
            theta ) )...  
    ), 0.01 , .49 ) ;
```

```
    delta = 1/2 * ( 1 - cos(lambda/2) );
```

```
    HF = delta * D ;
```

```
    SC = D * (pi - lambda/2.);
```

```
    SF = D * lambda/2;
```

```
    SI = D * sin (lambda/2) ;
```

```

        RF = 4* (lambda-sin(lambda)) / (2*pi) ;
        % Return [alpha,RF,SF,SC,tauWF,tauWC,SI]

    else % interface == 2

        delta = bisectionMethod(@(x)( ...
            ( tauWF * (pi*D) / A ) - ...
            ( ( 1 ./ (1-4*x.*(1-x) )) * taul .* ( pi
                *D*(1-2*x) ) / A ) + ...
            ( 4*x.*(1-x).*dRho*g*sin(theta) ) ...
            ), .05 , .45) ;

        HF = delta * D
        SI = pi * D * ( 1 - 2*delta)
        RF = 4 * delta * (1-delta)

    end
    alfa = (1-RD)*(1-RF)

end

elseif model == 2 % model based on kinematic law of drift
    Co = 0;          VGJ = 0 ;
end

```

8 Fração de líquido no escoamento disperso (*liquidFractionDispersed.m*)

- Definição da função

```
function [CoB,VinfB,RS] = liquidFractionDispersed ...  
    (JG, J , DenL, DenG, VisL, VisG, ...  
    surTen, D, theta, dRho, g)
```

1. Desenvolvimento da função

```
Eo = dRho * g * D^2 / surTen;  
Fr = J / sqrt(dRho*g*D*DenL)^(1/2);  
  
if 0 <= theta && theta <= 10/180*pi  
    DBcrit = 0.375*D*CfS* Fr^2 / cos(theta);  
else  
    DBcrit = 1.265*D * Eo^(-1/2);  
end  
  
CoB = 1 + 0.2 * (1-sqrt(DenG/DenL)) * (sin(theta))^2;  
  
% agitado — tabela 4.1  
CinfB = sqrt(2) * Eo^(-1/4) * sin(theta); %hipotese inicial
```

```

VinfB = CinfB * ( dRho*g*D/DenL )^(1/2);

RS = bisectionMethod(@(x)( 1-x-JG ./ ( CoB*J + ( sqrt(2)*x.^(7/4)* Eo
    ^(-1/4) * sin(theta) ) ) ) ...
    , .01 , 0.99)
CinfB = sqrt(2) * RS^(7/4) * Eo^(-1/4) * sin(theta);
VinfB = CinfB* (dRho*g*D/DenL)^(1/2);

```


9 Método da Bisseção (*bisectionMethod.m*)

- Definição da função

```
if f(a)*f(b)>0
    disp('Wrong choice')
    p=0;
else
    p = (a + b)/2;
    err = abs(f(p));
    while err > 1e-7
        if f(a)*f(p)<0
            b = p;
        else
            a = p;
        end
        p = (a + b)/2;
        err = abs(f(p));
    end
end
```

10 Programa de Cálculo da Fração de vazio e Tensão de cisalhamento no Escoamento Intermitente

- F: líquido; C: gás

$$\text{DenC} = \text{DenG} ; \quad \text{DenF} = \text{DenL} ; \quad \text{VisC} = \text{VisG} ; \quad \text{VisF} = \text{VisL} ;$$

- Frequência de Gregory & Scott (69) :

$$f = 0.026 J_L * \left[\left(\frac{19.75}{J} + J \right) * (gD) \right]^{6/5} = 0.0813$$

$$f = 0.026 * (J_L * (19.75/J + J) * (g*D))^{(6/5)} ;$$

- Fração de Líquido de Gregory et al (78) :

$$R_S = (1 + (J/8.66)^{1.39})^{(-1)} = 0.9526$$

$$RS = (1 + (J/8.66)^{1.39})^{(-1)} ;$$

- Velocidade de translação da bolha alongada:

$$U_T = 1.2 + 0.35\sqrt{gD} \sin(\theta)$$

```

% calculation of UT
Fr = J / ( dRho*g*D/DenL )
Eo = dRho*g*D^2/surTen ;
if Fr<3.5
    CoT = 1 + 0.2 * (sin(theta))^2 ;
    CinfT = (0.542 - 1.76 / (Eo^0.56)) * cos(theta) + ...
            (0.345*sin(theta) ) / ( 1+3805*(Eo^-3.06) )^0.58 ;
else
    CoT = 1.2 ;
    CinfT = ( 0.345*sin(theta) ) / ( 1+3805*(Eo^-3.06) )^0.58 ;
end
VinfT = CinfT * ( dRho*g*D/DenL )^(1/2) ;
UT = 1.2 + 0.35 * sqrt(g*D) * sin(theta);

```

- Velocidade das bolhas dispersas:

$$U_B = C_{0B} J + V_{\infty B} = 1$$

```

regimen = 1 ;
% 1:agitado , 2:distorcido
if regimen==1
    n = 0;
else
    n=7/4;

```

```
end
```

```
CoB = 1 + 0.2 * (sin(theta))^2 ;  
CinfB = 1.54 * (RS^n) * (Eo^(-1/4)) * sin(theta) ;  
VinfB = CinfB * ( dRho*g*D/DenL )^(1/2) ;  
UB = CoB * J + VinfB
```

- Cálculo de α

$$\alpha = \frac{J_G}{C_0 J + V_{GJ}} = \frac{J_G}{C_{0T} J + V_{\infty T}} = 0.41$$

```
Co = CoT ;  
VGJ = VinfT ;  
alpha = JG / ( Co*J+VGJ ) ;
```

- Cálculo da espessura do filme (VER PROGRAMA SEGUINTE)
- Cálculo da Força de atrito no filme

$\rho_S = (1 - R_S) \rho_G + R_S \rho_L$	$\mu_S = (1 - R_S) \mu_G + R_S \mu_L$	$Re_S = \frac{\rho_S V_S L}{\mu_S}$
$C_{fS} = \left\{ -3.6 * \log \left[\frac{\varepsilon}{(3.7 D_S)^{1.11}} + \frac{6.9}{Re_S} \right] \right\}^{-2} = 0.0031$	$\tau_{WS} = C_{fS} * Den_S * J * J / 2 = 1.47$	$T_{WS} = \frac{\tau_{WS} L}{k}$
$\beta = \frac{L_F \frac{P(L)}{L}}{L_F \frac{P(L)}{L} + L_S} = 0.47$	$T_W = \beta (T_{WC} + T_{WF}) + (1 - \beta) T_{WS} = 365.67$	

```

DenS = (1-RS)*DenG + RS * DenL ;
VisS = (1-RS)*VisG + RS * VisL ;
ReS = DenS * J * D / VisS ;
DS = D ;
CfS = ( -3.6 * log( (rug / (3.7*DS)).^1.11 + 6.9/ReS ) ) .^(-2) ;
tauWS = CfS * DenS * J * abs(J) / 2 ;
TWS = tauWS * S / A

beta = (LF * PL/P) / ( LF *PL/P + LS )
TW = beta * (TWC + TWF ) + (1-beta)*TWS

```

11 Programa de cálculo do perfil da bolha alongada

- Cálculo do $\delta_{INICIAL} = 0.90$:

$$solve(f) = R_F - \frac{\lambda - \sin(\lambda)}{2\pi} = 0$$

```
interface = 1;
tol = 1e-8;
LF = 0 ;
%% zF = 0 ;
dHF = (1e-4)*D ;
a = (1e-8)*D ;
b = (1-1e-8)*D ;
%%%%%%%%%%%%%%%%%%%%%%%%%%%%%%%%%%%%%%%%%%%%%%%%%%%%%%%%%%%%%%%%%%%%%%%%
if RS < 1
    RF = RS ;      %planar interface
    HF = bisectionHL(RF,D,a,b,tol) ;
else
    HF = D - dHF ;
end
delta0 = HF/D

function HF = bisectionHL(RF,D,a,b,tol)
err = 1 ;
while abs(err) > tol
```

```

    p = (a+b)/2. ;
    fa = funnHF(a, RF, D) ;

    fb = funnHF(b, RF, D) ;
    fp = funnHF(p, RF, D) ;

    %Bisection Method
    if fa*fp<0
        b = p ;
    else
        a = p ;
    end
    err = abs(b-a);
end
HF = p;
end

function
f=funnHF(HF, RF, D)
delta = HF/D ;
lambda = 2 * acos(1 - (2*delta) ) ;
f = RF - ( lambda - sin(lambda) ) / (2*pi) ;
end

```

- Cálculo da derivada: Primeira iteração com $\delta = 0.72$ para o primeiro $\frac{dH}{dz} < 0$

$$\frac{dh}{dz} = \frac{\frac{\tau_f S_f}{A_f} - \frac{\tau_g S_g}{A_g} - \tau_I S_I \left(\frac{1}{A_f} + \frac{1}{A_g} \right) + \Delta \rho g \sin \beta}{\Delta \rho g \cos \beta - \rho_L v_F \frac{(u_t - u_L)}{R_F^2} \frac{dR_F}{dh} - \rho_G v_G \frac{(u_t - u_B)(1 - R_F)}{(1 - R_F)^2} \frac{dR_F}{dh}} = -69.4$$

```

dhFdzF0=derivada (HF, J, DenC, DenF) ;
% delta_dH1= dhFdzF / %
while derivada (HF, J, DenC, DenF)>0
    HF = HF - dHF;
end
delta1 = HF/D
dhFdzF1=derivada (HF, J, DenC, DenF)
h=HF;
dh=dHF;
i=0;
z=0;

function dhdz = derivada (hf, um, DenC, DenF)

```



```

Rf = area(hf)/area(D) ;
uf = (um - vbolha(um)*(1-Rf))/Rf;
ug = (um - Rf*uf)/(1-Rf);
ut = vbolha(um);
dRdh = (4/(pi*D))*sqrt(1-(2*hf/D-1)^2);
dhdz=0.5*fator(rhof,Dh(hf,'l'),uf,mif)*rhof*uf*abs(uf)*perimetro(hf,'l')/
    area(hf) ...
    - 0.5*fator(rhog,Dh(hf,'g'),ug,mig)*rhog*ug*abs(ug)*perimetro(hf,'g')/
    area(D-hf) ...
    - 0.5*fator(rhog,Dh(hf,'g'),ug,mig)*rhog*(ug-uf)*abs(ug-uf)*perimetro(
        hf,'i')*(1/area(hf)+1/area(D-hf)) ...
    + (rhof-rhog)*g*sin(angulo(theta));
dhdz = dhdz/((rhof-rhog)*g*cos(angulo(theta))-rhof*(ut - uf)*(ut-um)*dRdh/(
    Rf^2));
end

function A=area(h)
global D
A = pi-acos(2*h/D-1)+(2*h/D-1)*sqrt(1-(2*h/D-1)^2);
A = A*0.25*D^2;
end

function theta = angulo(theta)

```

```

theta = theta*pi/180;
end

function
f=fator(rho,Dh,v,mi)
Re = rho*Dh*v/mi;
f = max(0.079*Re^(-0.25),16*Re^(-1));
end

```

```

function S=perimetro(h,char)
    global D
    if (char=='l')
        S = D*(pi-acos(2*h/D-1));
    elseif (char=='g')
        S = D*acos(2*h/D-1);
    else
        S = D*sqrt(1-(2*h/D-1)^2);
    end
end

```

```

function [TWC,TWF,UT]=TWCTWF...

```

```

(HF,JG, JL , DenC , DenF, VisC , VisF , g, D , A, rug , surTen , dRho,theta ,
interface)

delta = HF/D
lambda = 2 * acos(1 - (2*delta) ) ;

SC = D * (pi-lambda/2) ;
SF = D * lambda/2 ;
SI = D * sin(lambda/2) ;
DC = D * ( 1 + ( sin(lambda/2)-sin(lambda)/2 ) / ...
            ( 2 * ( 2*pi-lambda*sin(lambda) ) ) ) ^-1 ;
DF = D * ( 1-sin(lambda)/lambda ) ;
RF = ( lambda - sin(lambda) ) / (2*pi)

ED = funED(4, JG, JL , DenC , DenF, VisC , VisF , g, D, surTen , dRho ) ;
UC = ( JG + ED*JL ) / (1-RF) ;
UF = ( JL - ED*JL ) / RF ;
J = JG + JL ;
Fr = J / ( dRho*g*D/DenF )^(1/2) ;
Eo = dRho*g*(D^2)/surTen ;
if Fr<3.5
    CoT = 1+0.2*(sin(theta))^2 ;
    CinfT = (0.542-1.76/(Eo^.56))*cos(theta) + ...
            (0.345 / (1+3805*(Eo^3.06))^0.58 ) * sin(theta);

```

```

else
    CoT = 1.2 ;
    CinfT = (0.345 / (1+3805*(Eo^3.06)))^0.58 ) * sin(theta);
end

VinfT = CinfT * (dRho*g*D/DenF)^(1/2) ;
UT = CoT * J + VinfT ;
ReC = DenC * UC * DC / VisC ;
ReF = DenF * UF * DF / VisF ;
CfC = ( -3.6 * log( rug/(3.7*DC)^1.11 + 6.9/ReC ) )^-2 ;
CfF = ( -3.6 * log( rug/(3.7*DF)^1.11 + 6.9/ReF ) )^-2 ;
tauWC = CfC * DenC * UC * abs(UC) / 2 ;
tauWF = CfF * DenF * UF * abs(UF) / 2 ;
TWC = tauWC * SC / A ;      TWF = tauWF * SF / A ;
end

function ED = funED(model, JG, JL, DenC, DenF, VisC, VisF, g, D, surTen,
    dRho )
    % Wallis (Tabela4.3)
    ReL = DenF * JL * D / VisF;
    We1 = ( DenC * JG^2 * D / surTen ) * ( dRho / DenC )^(1/3);

    if model==1
        % Wallis (1969)

```

```

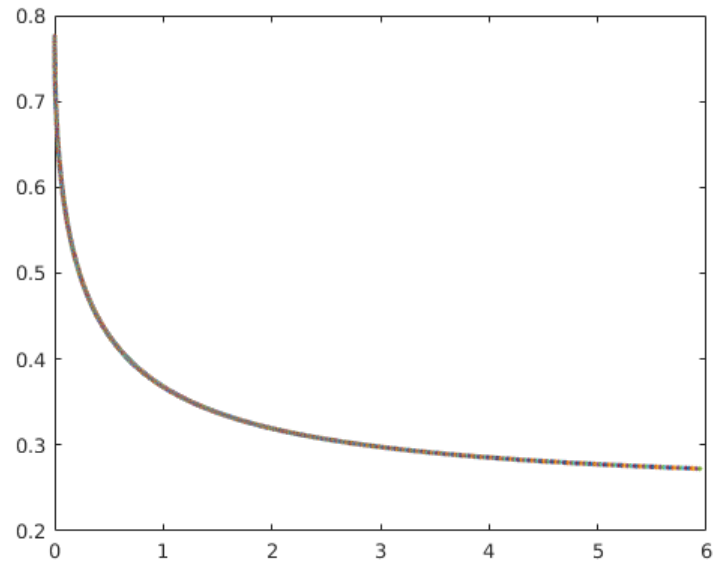
    phi = 1e4 * JG * VisC / surTen * (DenC/DenF) ^ 0.5;
    ED = 1 - exp( -0.125 * (phi-1.5) ) ;
elseif model==2
    % Oliemans (1986)
    Coef = (10^-2.52)*(DenC^0.18)*(DenF^1.08)*(VisC^0.28)*...
        (VisF^0.27)*(JG^1.44)*(JL^0.7)*(surTen^-1.8)*(g^0.46)*(D^1.72) ;
    ED = Coef/(Coef+1);
elseif model == 3
    % Ishii & Mishima (1989)
    ED = tanh ( 7.25e-7 * ReL^(1/4) * We1*(5/4) ) ;
else
    % Sawant et al. (2008)
    ReLmin = 250*log(ReL) - 1265 ;
    Em = 1 - ReLmin/ReL ;
    a = 2.31e-4 * ReL^-0.35 ;
    ED = Em * tanh ( a * We1^1.25);
end
end

```

- Cálculo da altura de equilíbrio:

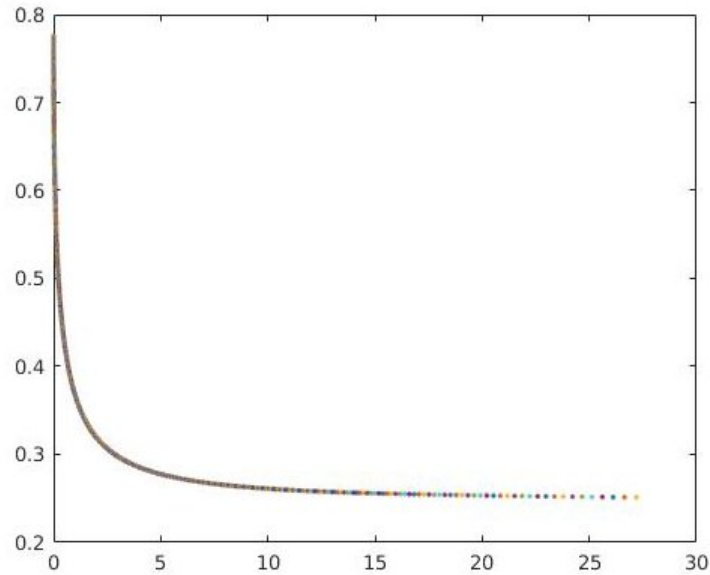
1. Critério de parada: $\%Erro = 0.5\%$ (Vinicius)

– $\delta_1 = 0.3171$; $L_F = 6m$??????????????????????



2. Critério de parada: Conservação da massa: $JG > (1 - R_S) * U_B + (R_S - \overline{R_F}) * L_F * f$ (Lima)

– $\delta_2 = 0.299$; $L_F = 26m$; $\frac{dh}{dz} = -69$??????????????????????



- Cálculo das tensões de cisalhamento e força de atrito

$$- \tau_{WC} = C_{fC} * Den_C * U_C * |U_C| / 2 = 0.0013 \text{ N/m}^2$$

$$- \tau_{WF} = C_{fF} * Den_F * U_F * |U_F| / 2 = 8.54 \text{ N/m}^2$$

$$- T_{WC} = \frac{\tau_{WC} * S}{A} = 0.13 \text{ N}$$

$$- T_{WF} = \frac{\tau_{WF} * S}{A} = 512 \text{ N}$$

- Cálculo do comprimento do pistão:

$$- LS = \frac{U_T}{f} - L_F = 6,52 \text{ m} \text{????????????????????????????????}$$

12 Seção do programa para calcular a pressão na em determinada seção

- Resolver a EDO

$U_L(i) =$	$\mu_S = (1 - R_S) \mu_G + R_S \mu_L$	$Re_S = \frac{\rho_S V}{\mu_S}$
$C_{fS} = \left\{ -3.6 * \log \left[\frac{\varepsilon}{(3,7D_S)^{1.11}} + \frac{6.9}{Re_S} \right] \right\}^{-2} = 0.0031$	$\tau_{WS} = C_{fS} * Den_S * J * J / 2 = 1.47$	$T_{WS} = \frac{\tau_{WS}}{J}$
$\beta = \frac{L_F \frac{P(L)}{L}}{L_F \frac{P(L)}{L} + L_S} = 0.47$	$T_W = \beta (T_{WC} + T_{WF}) + (1 - \beta) T_{WS} = 365.67$	